

УДК 548.737

**МОЛЕКУЛЯРНАЯ И КРИСТАЛЛИЧЕСКАЯ СТРУКТУРА  
2,3-ДИМЕТИЛ-5-(2'-МЕТИЛПРОП-1'-ЕНИЛ)-6-(МОРФОЛИЛ-4'-КАРБОНИЛ)-  
ЦИКЛОГЕКС-3-ЕН-1-КАРБОНОВОЙ КИСЛОТЫ**

© 2012 Е.В. Миронова<sup>1\*</sup>, М.С. Дзюркевич<sup>2</sup>, О.А. Лодочникова<sup>1</sup>, Д.Б. Криволапов<sup>1</sup>,  
И.А. Литвинов<sup>1</sup>, В.В. Племенков<sup>2</sup>

<sup>1</sup>Учреждение Российской академии наук Институт органической и физической химии им. А.Е. Арбузова  
КНЦ РАН, Казань

<sup>2</sup>Российский государственный университет, Калининград

Статья поступила 8 апреля 2011 г.

Выполнено рентгеноструктурное исследование 2,3-диметил-5-(2'-метилпроп-1'-енил)-6-(морфолил-4'-карбонил)-циклогекс-3-ен-1-карбоновой кислоты — одного из продуктов реакции ациклического монотерпена, аллооцимена, с малеиновым и цитраконовым ангидридами по схеме Дильса—Альдера с последующим раскрытием ангидриданного фрагмента аддуктов морфолином до соответствующих амидов. Кристаллы триклинные;  $a = 10,619(1)$ ,  $b = 12,784(2)$ ,  $c = 14,328(2)$  Å;  $\alpha = 65,752(1)$ ,  $\beta = 87,932(1)$ ,  $\gamma = 78,120(1)$ °;  $V = 1733,0(3)$  Å<sup>3</sup>, пространственная группа  $P-1$ ,  $Z = 4$  (две независимые молекулы). В обеих молекулах наблюдается анти-конформация карбоксильной группы, которая стабилизируется внутримолекулярной водородной связью между карбоксильным атомом водорода и кислородом кетонной группы.

**Ключевые слова:** 2,3-диметил-5-(2'-метилпроп-1'-енил)-6-(морфолил-4'-карбонил)-циклогекс-3-ен-1-карбоновая кислота, кристаллическая и молекуллярная структура, анти-конформация карбоксильной группы, рентгеноструктурный анализ.

В настоящее время одним из перспективных подходов к созданию веществ с эффективными медико-биологическими свойствами является синтез соединений гибридной, или бифильной природы, сочетающих в своей структуре фрагменты известной активности [1]. С этих позиций образование гибридлов на основе природных липофильных терпеноидов, обладающих самой разнообразной биологической активностью [2], путем введения в них гидрофильных карбоксильных и карбамидных функций, типичных для многих лекарственных препаратов [3], должно быть многообещающим.

Нами был осуществлен синтез соединений такого типа реакциями ациклического монотерпена аллооцимена, с малеиновым и цитраконовым ангидридами по схеме Дильса—Альдера

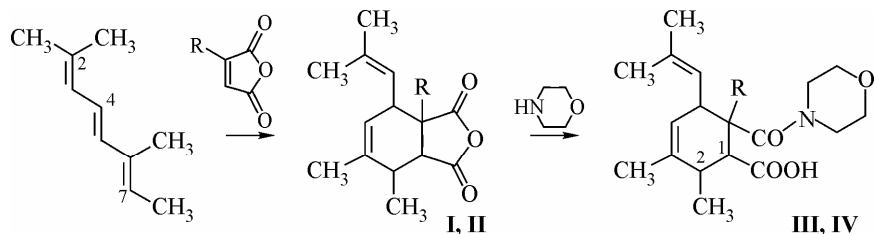


Схема 1

I, III R = H; II, IV R = CH<sub>3</sub>

\* E-mail: katy@iopc.knc.ru

с последующим раскрытием ангидридного фрагмента аддуктов **I** и **II** морфолином до соответствующих амидов **III** и **IV** (схема 1).

В данной публикации мы представляем кристаллическую структуру соединения **III**, для которого удалось получить пригодные для PCA эксперимента кристаллы.

### ЭКСПЕРИМЕНТАЛЬНАЯ ЧАСТЬ

**2,3-Диметил-5-(2'-метилпроп-1'-енил)-6-(морфолил-4'-карбонил)-циклогекс-3-ен-1-карбоновая кислота (III)** была получена выдерживанием смеси 5 г (0,021 моль) **I** в 15 мл ТГФ с 1,8 г (0,021 моль) морфолина при комнатной температуре в течение 24 ч. После удаления растворителя в вакууме водоструйного насоса и перекристаллизации твердого остатка из этанола получено 5,1 г кристаллов с  $T_{\text{пл}}$  154—155 °C, выход 76 %. Найдено, %: C 67,43, H 8,40, N 4,31, C<sub>18</sub>H<sub>27</sub>NO<sub>4</sub>. Вычислено, %: C 67,29, H 8,41, N 4,36.

ИК спектр, см<sup>-1</sup>: 2440, OH карбоксильной группы, 1729, C=O карбоксильной группы, 1582, C=O амидной группы.

Спектр ЯМР <sup>1</sup>H (CDCl<sub>3</sub>), δ, м.д. (J, Гц): 1,31 д (<sup>3</sup>J<sub>HH</sub> 7,3, 3H, CHCH<sub>3</sub>); 1,60 д (<sup>4</sup>J<sub>HH</sub> 1,3, 3H, CH<sub>3</sub>); 1,66 д (<sup>4</sup>J<sub>HH</sub> 1,2, 3H, CH<sub>3</sub>); 1,76 д (<sup>4</sup>J<sub>HH</sub> 1,1, 3H, CH<sub>3</sub>); 2,42 уш с (1H, CH); 2,90 с (1H, CH); 3,34 м (1+1H, CH); 3,58 м (2+2+2H, C<sub>4</sub>H<sub>8</sub>NO); 5,18 с (1H, C=CH); 5,21 (1H, C=CH); 11,83 уш с (1H, COOH).

### РЕНТГЕНОСТРУКТУРНЫЙ АНАЛИЗ

**Рентгеноструктурный анализ** кристалла соединения **III** проведен на автоматическом дифрактометре "Bruker Smart APEX II CCD": графитовый монохроматор,  $\lambda_{\text{Mo}K\alpha} = 0,71073 \text{ \AA}$ , ω-сканирование, температура 293 К. Структура расшифрована прямым методом по программе SIR [4] и уточнена вначале в изотропном, затем в анизотропном приближении по программе SHELLXL-97 [5]. Атомы водорода H(8A) и H(8B) выявлены из разностных рядов Фурье и уточнены изотропно. Остальные атомы водорода помещены в геометрически рассчитанные положения и включены в уточнение по модели "наездника". Все расчеты проведены с помощью программ WinGX [6] и APEX2 [7]. Все рисунки и анализ межмолекулярных взаимодействий выполнены с помощью программы PLATON [8]. Исследование монокристалла соединения **III** проведено в федеральном спектроаналитическом центре коллективного пользования Института органической и физической химии им. А.Е. Арбузова КазНЦ РАН на базе Лаборатории дифракционных методов исследования. Параметры внутри- и межмолекулярных взаимодействий (водородных связей) в кристалле **III** приведены в таблице.

Кристаллы соединения **III**: бесцветные, призматические, триклинические; C<sub>18</sub>H<sub>27</sub>N<sub>1</sub>O<sub>4</sub>;  $M = 321,19$ ;  $a = 10,619(1)$ ,  $b = 12,784(2)$ ,  $c = 14,328(2) \text{ \AA}$ ;  $\alpha = 65,752(1)$ ,  $\beta = 87,932(1)$ ,  $\gamma = 78,120(1)^\circ$ ;  $V = 1733,0(3) \text{ \AA}^3$ ,  $d_x = 1,23 \text{ г}/\text{см}^3$ ,  $Z = 4$  (две независимые молекулы), пространственная группа  $P-1$ . Угол сканирования  $2,44^\circ < \theta < 23,20^\circ$ . Измерено 6766 независимых отражений, 5019 из кото-

*Параметры внутри- и межмолекулярных взаимодействий (водородных связей)  
в кристалле соединения III*

D—H···A	D—H, Å	H···A, Å	D···A, Å	DHA, град.	Операции симметрии
O(8A)—H(8A)···O(14A)	0,98(3)	1,55(3)	2,518(2)	169(3)	—
O(8B)—H(8B)···O(14B)	1,00(3)	1,54(3)	2,540(2)	171(3)	—
C(19B)—H(19E)···O(18A)	0,97	2,59	3,428(2)	145	1+x, -1+y, 1+z
C(20A)—H(20B)···O(14A)	0,97	2,28	2,679(2)	104	—
C(20B)—H(20E)···O(14B)	0,97	2,31	2,682(2)	102	—
C(8A)—H(82A)···O(7A)	0,96	2,35	2,895(3)	116	—
C(8B)—H(83B)···O(7B)	0,96	2,37	2,907(3)	115	—

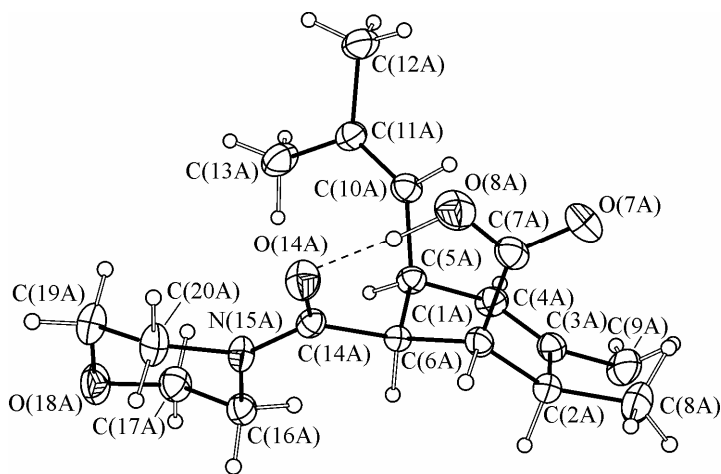


Рис. 1. Внутримолекулярная водородная связь O(8)—H(8)···O(14) на примере молекулы IIIA в кристалле

рых с  $I \geq 2\sigma$ . Учет поглощения не проводили;  $\mu(\text{Mo}K_{\alpha}) = 0,86 \text{ см}^{-1}$ . Окончательные значения факторов расходимости  $R = 0,0451$  и  $R_w = 0,1055$  по 5019 рефлексам с  $F > 2\sigma(F^2)$ . Структура депонирована в Кембриджской базе кристаллоструктурных данных (CCDC 819096; deposit@ccdc.cam.ac.uk или <http://www.ccdc.cam.ac.uk>).

### РЕЗУЛЬТАТЫ И ИХ ОБСУЖДЕНИЕ

По данным РСА, соединение III кристаллизуется в триклинической пространственной группе  $P-1$  с двумя независимыми молекулами. На рис. 1 показана геометрия молекулы IIIA в кристалле.

Длины связей и валентные углы в молекулах IIIA и IIIB одинаковы в пределах ошибки эксперимента, незначительные различия наблюдаются в геометрии заместителя при атоме C(6) (значения торсионных углов C(14)N(15)C(16)C(17) — 142,2(2) и 147,1(2) $^\circ$ , C(14)N(15)C(20)C(19) — 140,7(2) и 146,8(2) $^\circ$ , C(16)N(15)C(14)C(6) — 8,4(2) и 11,1(2) $^\circ$  для IIIA и IIIB соответственно). В обеих молекулах морфолиновый цикл имеет конформацию *кресло* (для IIIA фрагмент C(16A)C(17A)C(19A)C(20A) плоский в пределах 0,001(2)  $\text{\AA}$ , отклонения атомов O(18A) и N(15A) составляют -0,667(1) и 0,580(1)  $\text{\AA}$  соответственно; для IIIB фрагмент C(16B)C(17B)C(19B)C(20B) плоский в пределах 0,010(2)  $\text{\AA}$ , отклонения атомов O(18B) и N(15B) составляют -0,681(2) и 0,566(1)  $\text{\AA}$  соответственно), а циклогекс-3-еновый цикл — конформацию *полукресло* (для IIIA фрагмент C(2A)C(3A)C(4A)C(5A) плоский в пределах 0,003(2)  $\text{\AA}$ , отклонения атомов C(1A) и C(6A) составляют 0,476(2) и -0,363(2)  $\text{\AA}$  соответственно; для IIIB фрагмент C(2B)C(3B)C(4B)C(5B) плоский в пределах 0,001(2)  $\text{\AA}$ , отклонения атомов C(1B) и C(6B) составляют 0,481(2) и -0,365(2)  $\text{\AA}$  соответственно).

В обеих молекулах наблюдается так называемая *анти*-конформация карбоксильной группы (см. схему 2).

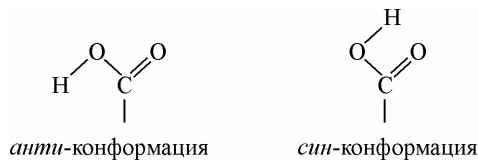


Схема 2. *Анти*- и *син*-конформация карбоксильной группы

Среди обширного класса карбоновых кислот (более 11000 структур по версии 1,12 Кембриджской базы структурных данных [9]) насчитывается порядка 1000 кристаллических структур, в которых реализуется эта конформация. Как показывает анализ литературы, именно для класса кетокислот она является характерной [10—12].

В кристалле III анти-конформация карбоксильной группы стабилизируется внутримолекулярной водородной связью между карбоксильным атомом водорода и кислородом кетонной группы (см. рис. 1). Параметры взаимодействия (см. таблицу) свидетельствуют о прочности водородной связи, чем объясняется существенное удлинение связи C(14)=O(14) до 1,246(2)  $\text{\AA}$ .

Рис. 2. Ассоциат молекул IIIA и IIIB в кристалле, образованный за счет межмолекулярного взаимодействия C(19B)—H(19E)…O(18A)

в молекулах IIIA и IIIB (стандартная длина ее для альдегидов и кетонов по данным [13] варьирует в пределах 1,19—1,21 Å).

Наиболее существенным межмолекулярным взаимодействием в кристалле III является взаимодействие C(19B)—H(19E)…O(18A), посредством которого молекулы A и B объединены попарно (рис. 2). Молекула A участвует в этом взаимодействии в качестве акцептора протона, а молекула B — в роли донора. В кристалле также отмечаются внутримолекулярные взаимодействия C—H…O-типа, параметры которых приведены в таблице.

Таким образом, рентгеноструктурное исследование одного из продуктов реакции аллоцимена с малеиновым и цитраконовым ангидридами — 2,3-диметил-5-(2'-метилпроп-1'-енил)-6-(морфолил-4'-карбонил)-циклогекс-3-ен-1-карбоновой кислоты — показало, что кристаллы данного соединения триклиновые, пространственная группа P-1 с двумя независимыми молекулами. Независимые молекулы имеют сходную геометрию. В обеих молекулах морфолиновый цикл имеет конформацию *кресло*, а циклогекс-3-еновый цикл — конформацию *полукресло*. В обеих молекулах наблюдается *анти*-конформация карбоксильной группы, которая стабилизируется внутримолекулярной водородной связью между карбоксильным атомом водорода и кислородом кетонной группы. Классических межмолекулярных водородных связей в кристалле не отмечено, имеется межмолекулярное взаимодействие C—H…O-типа, приводящее к связыванию молекул A и B.

Работа выполнена при финансовой поддержке грантов Российского фонда фундаментальных исследований (№ 09-03-00696а) и Президента Российской Федерации для государственной поддержки молодых российских ученых — кандидатов наук (МК-1670.2010.3).

#### СПИСОК ЛИТЕРАТУРЫ

- Corson N.W., Aberle N., Crews C.M. // ACS Chemical Biology. — 2008. — **3**, N 11. — P. 677 – 692; b) Potashman M.H., Duggan M.E. // J. Med. Chem. — 2009. — **52**, N 5. — P. 1231 – 1246.
- Племенков В.В. Химия изопреноидов. — Калининград—Казань—Барнаул: Изд-во Алтайского ун-та, 2007.
- Iwao Ojima // Accounts Chem. Res. — 2008. — **41**, N 1. — P. 108 – 119; b) Gutierrez-Lugo M.-T., Bewley C.A. // J. Med. Chem. — 2008. — **51**, N 9. — P. 2606 – 2612; c) Horwedel C., Tsogoeva S. B., Wei S., Efferth T. // J. Med. Chem. — 2010. — **53**, N 13. — P. 4842 – 4848.
- Altomare A., Cascarano G., Giacovazzo C., Viterbo D. // Acta Crystallogr. Sec. A. — 1991. — **47**, N 4. — P. 744 – 748.
- Sheldrick G.M. SHELX-97, program for crystal structure refinement. — Göttingen, Germany: Univ. of Göttingen, 1997. — **1**, **2**.
- Farrugia L.J. // J. Appl. Crystal. — 1999. — **32**. — P. 837 – 838.
- APEX2 (Version 2.1), SAINTPlus. Data Reduction and Correction Program (Version 7.31A, Bruker Advanced X-ray Solutions, BrukerAXS Inc., Madison, Wisconsin, USA, 2006).
- Spek A.L. // Acta Crystallogr. Sec. A. — 1990. — **46**, N 1. — P. 34 – 41.
- Cambridge structural database system. Version 1.12. Cambridge Crystallographic Data Centre, 2009.
- Leiserowitz L. // Acta Cryst. — 1976. — **B32**. — P. 775 – 802.
- Cote A.M.L., Lalancette R.A., Thompson H.W. // Acta Cryst. — 1996. — **C52**. — P. 1535 – 1537.
- DeVita Dufort M., Davison M., Lalancette R.A., Thompson H.W. // Acta Cryst. — 2007. — **C63**. — P. 0646 – 0649.
- Allen F.N., Kennard O., Watson D.G. et al. // J. Chem. Soc., Perkin Trans. II. — 1987. — N 12. — P. S1 – S19.

